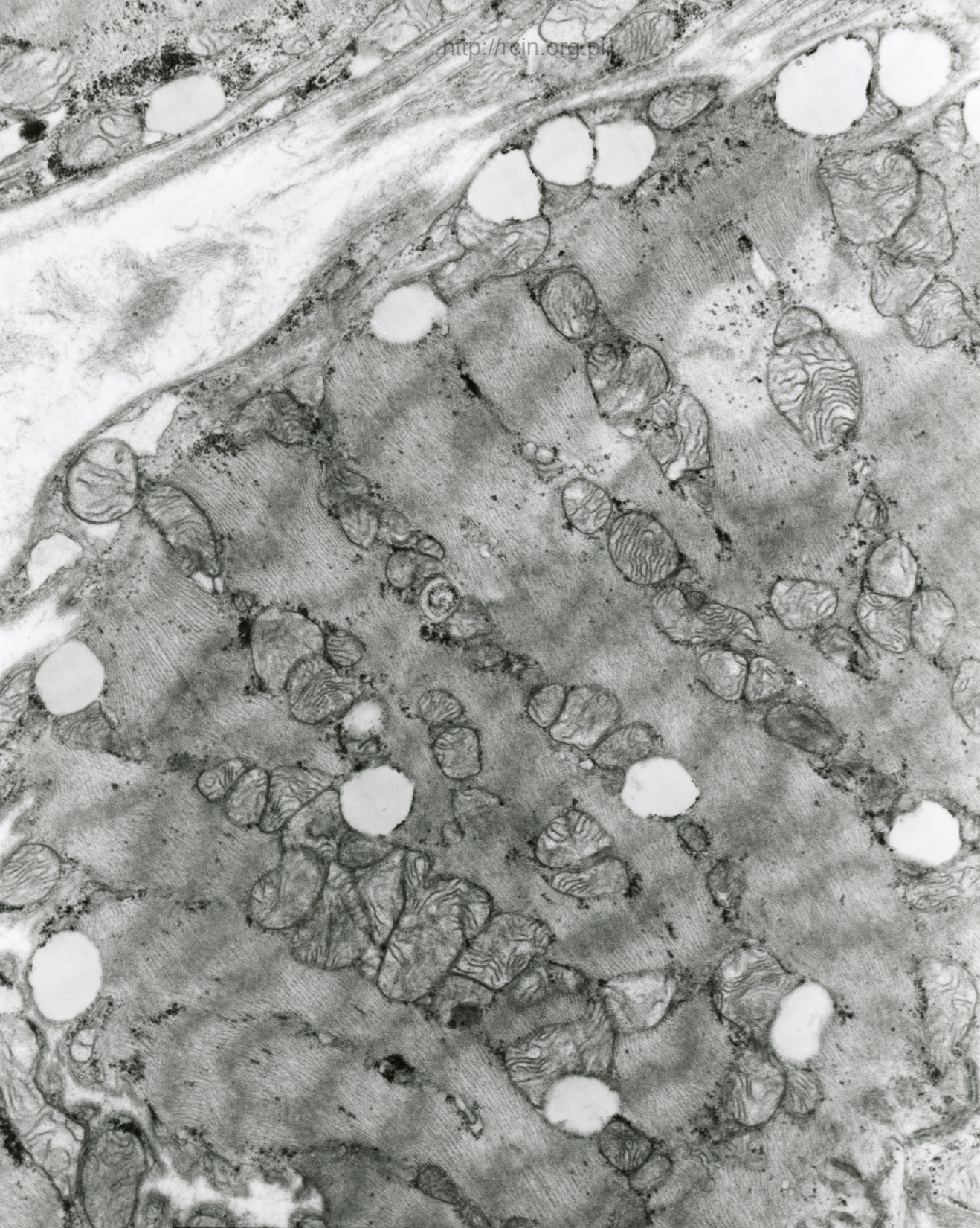


AF 48/07/SERCE  
073043 80.0KV X4000



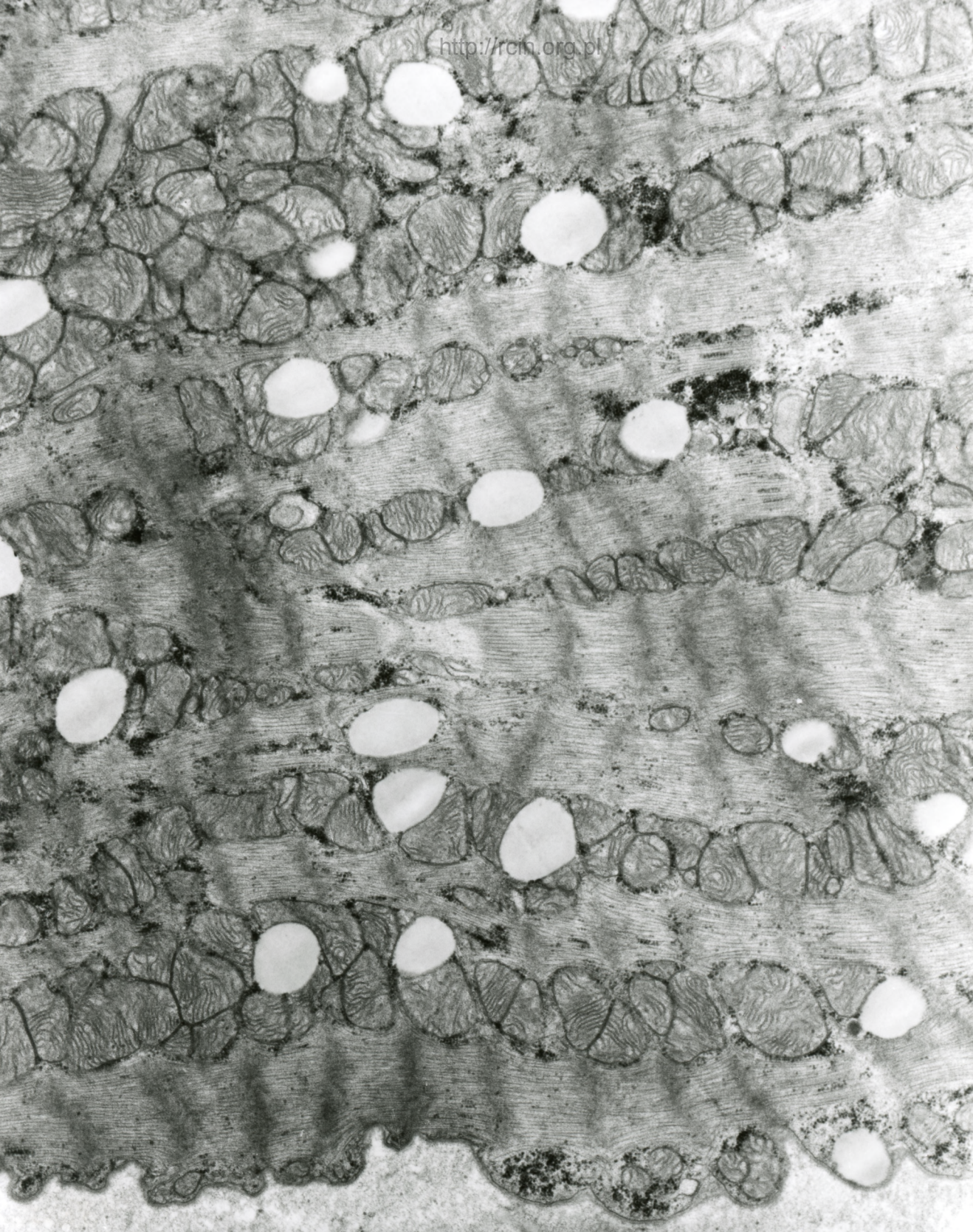
2µm

Fig. 1



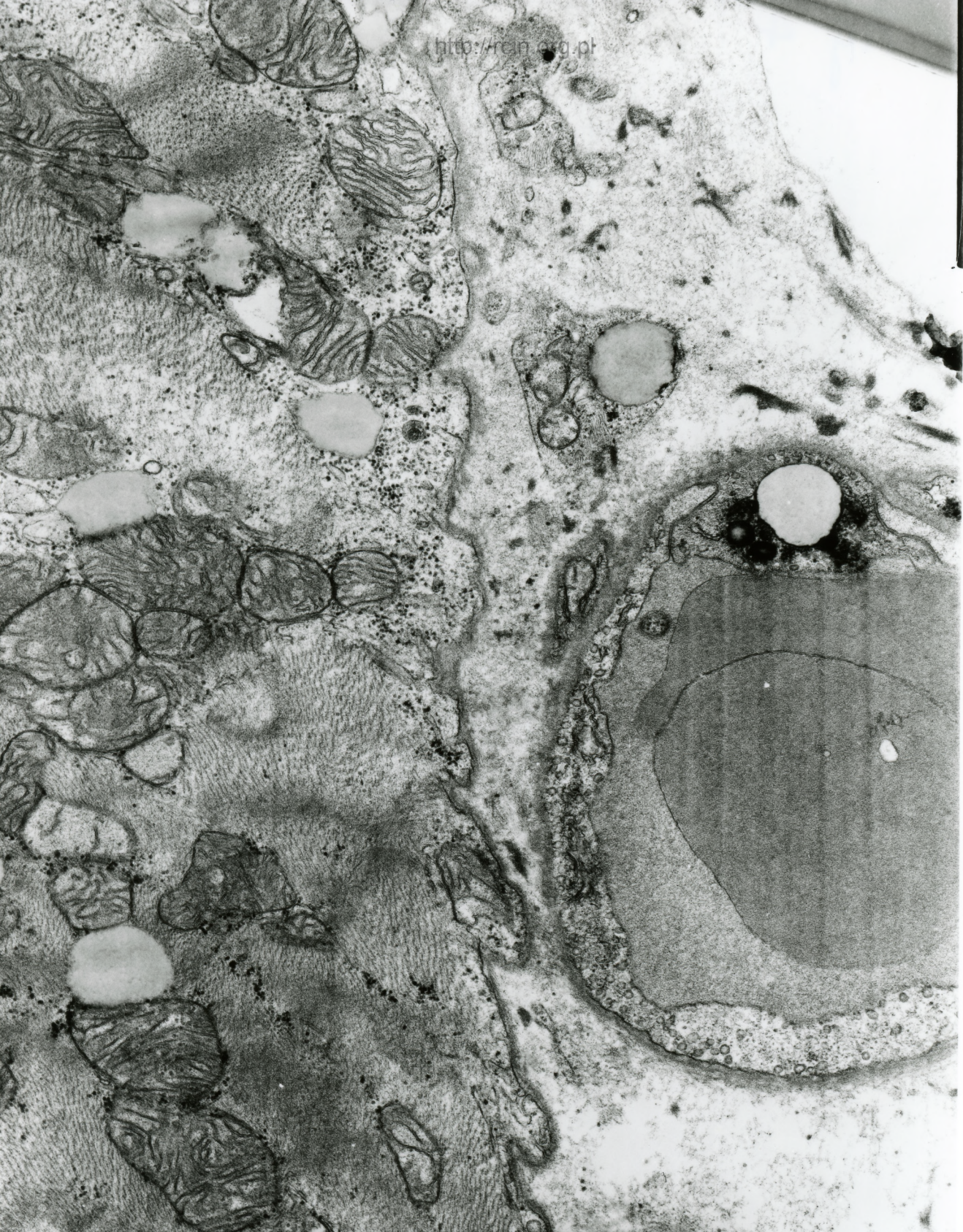
AF 12/07/SERCE  
073046 80.0KV X6000

Fig. 2



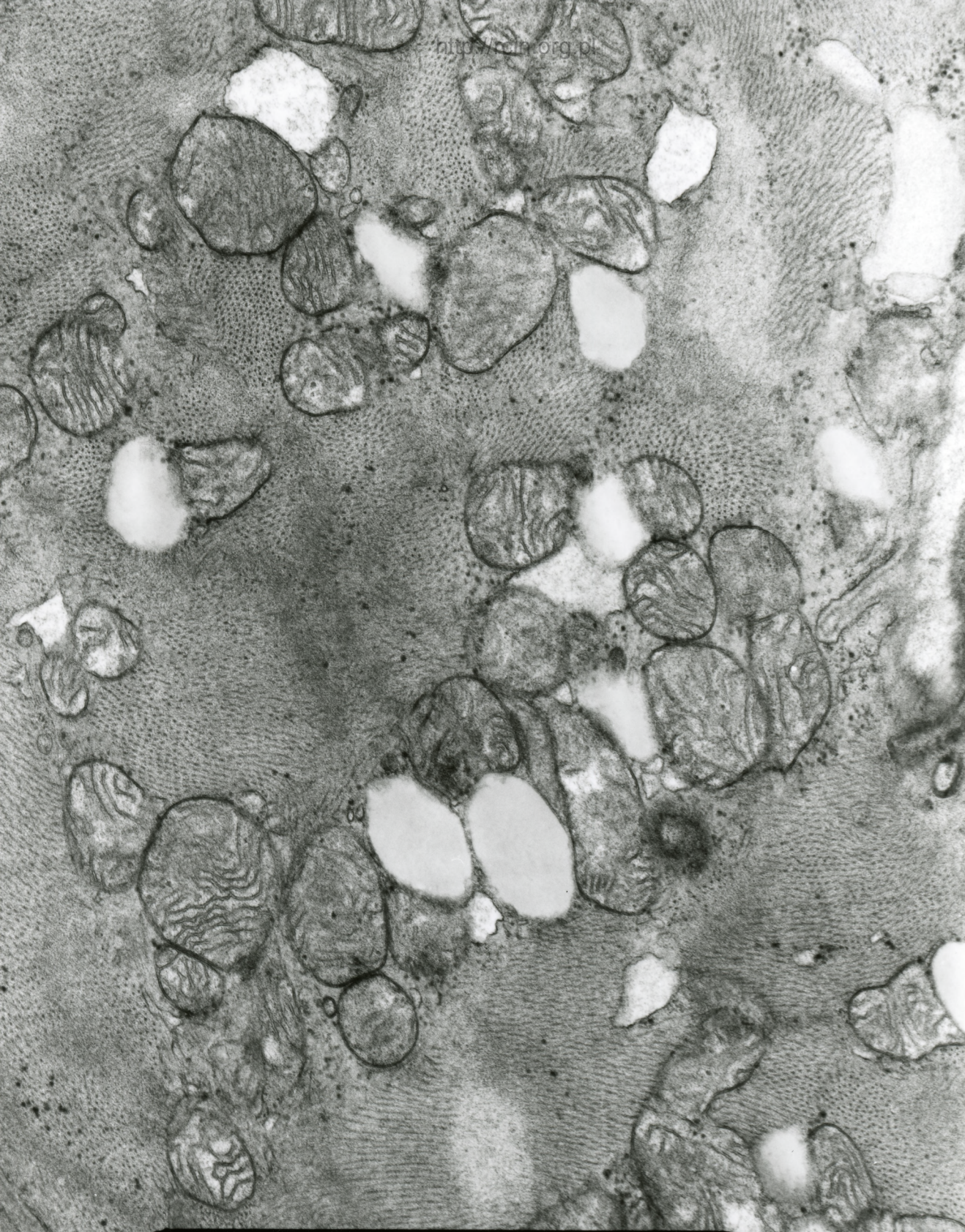
AF 10/07/SERCE  
073047 80.0KV X6000

Fig. 3



AF 40/07/SERCE  
073050 8A AKU X7500

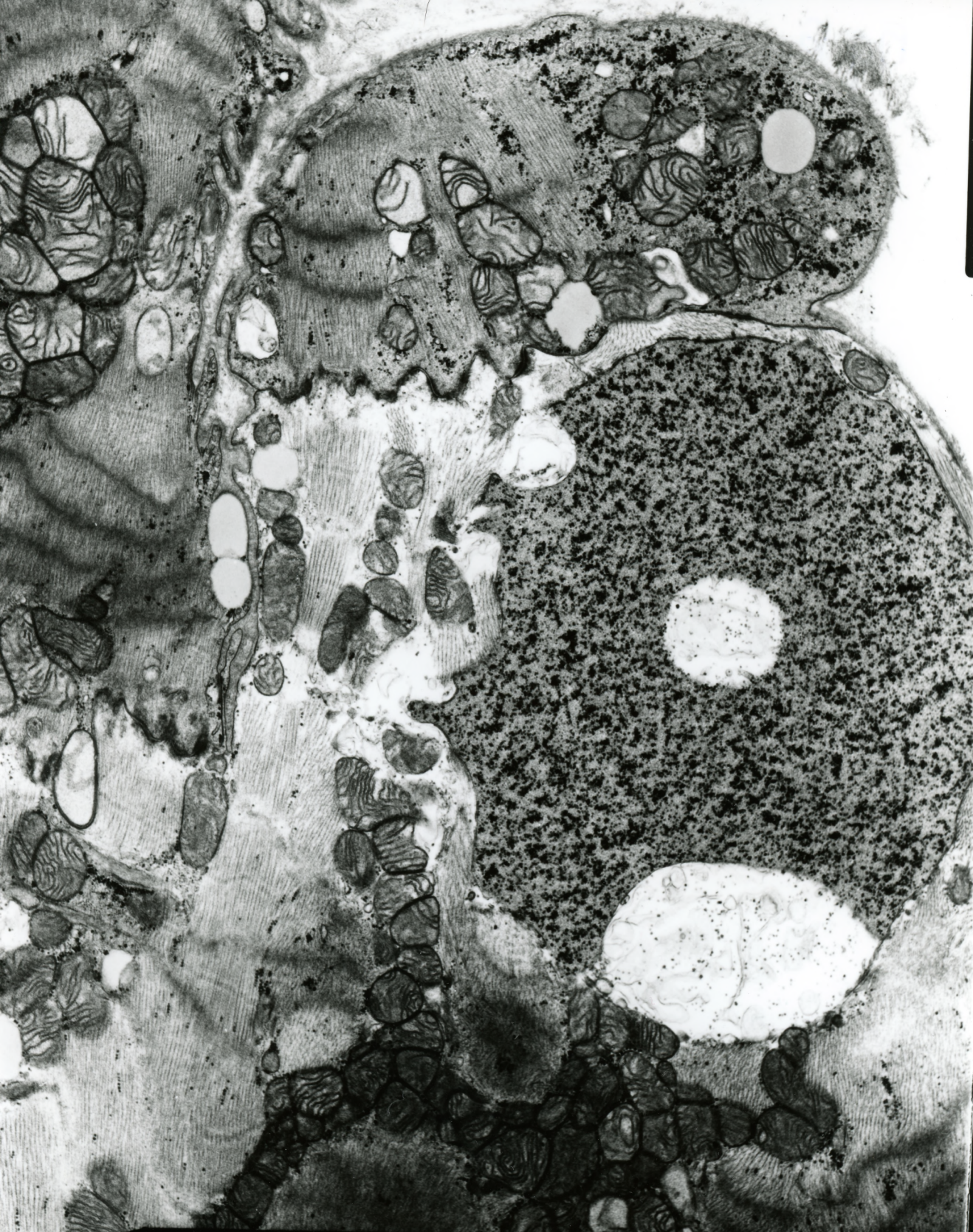
Fig. 4



https://doi.org/10.1002/ajpa.13801

AF 48/07/SERCE  
073045 80.0KV X10K 500nm

Fig. 5

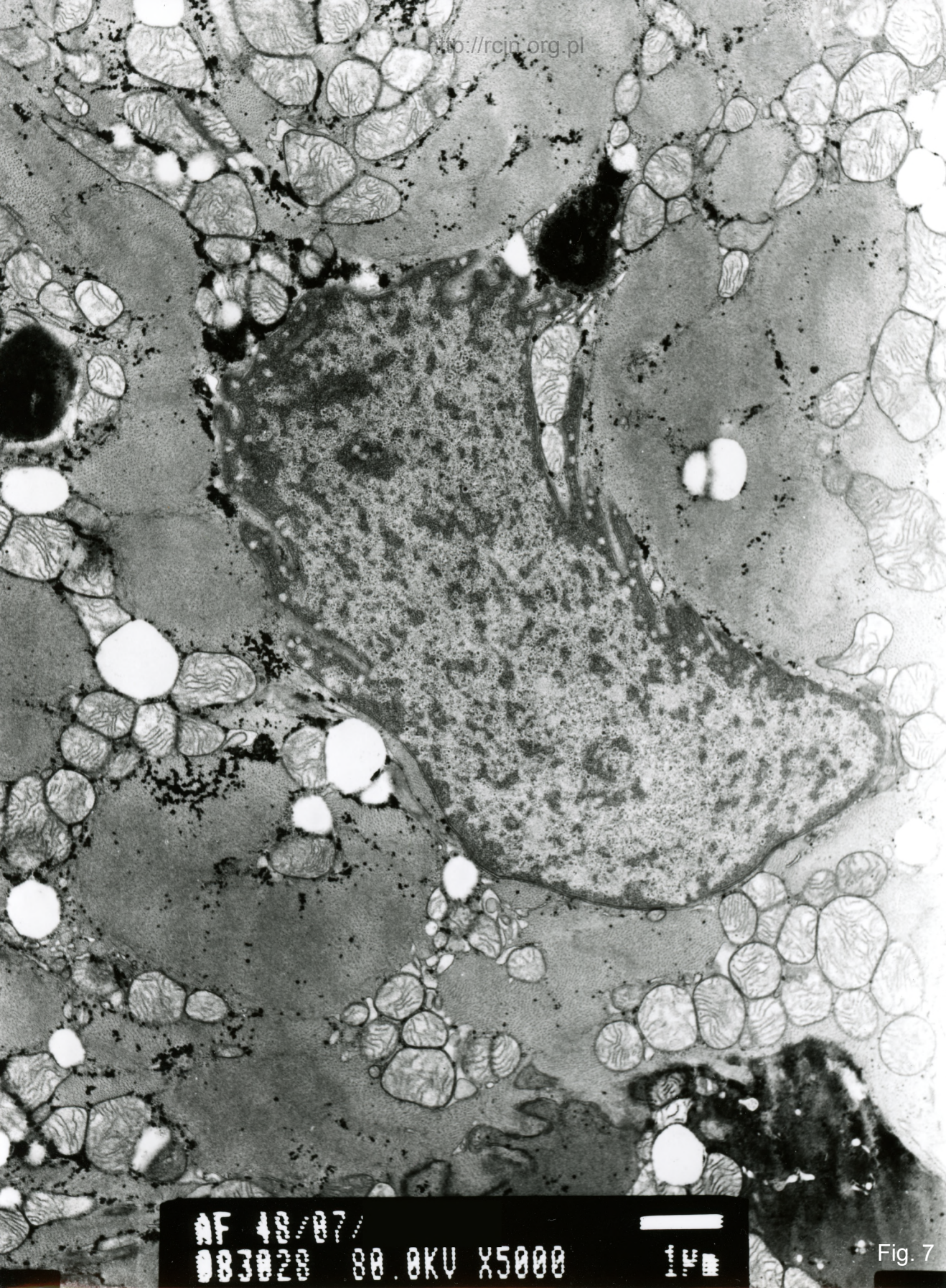


AF 48/07/  
003027 80.0KV X5000

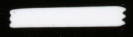


1 μm

Fig. 6

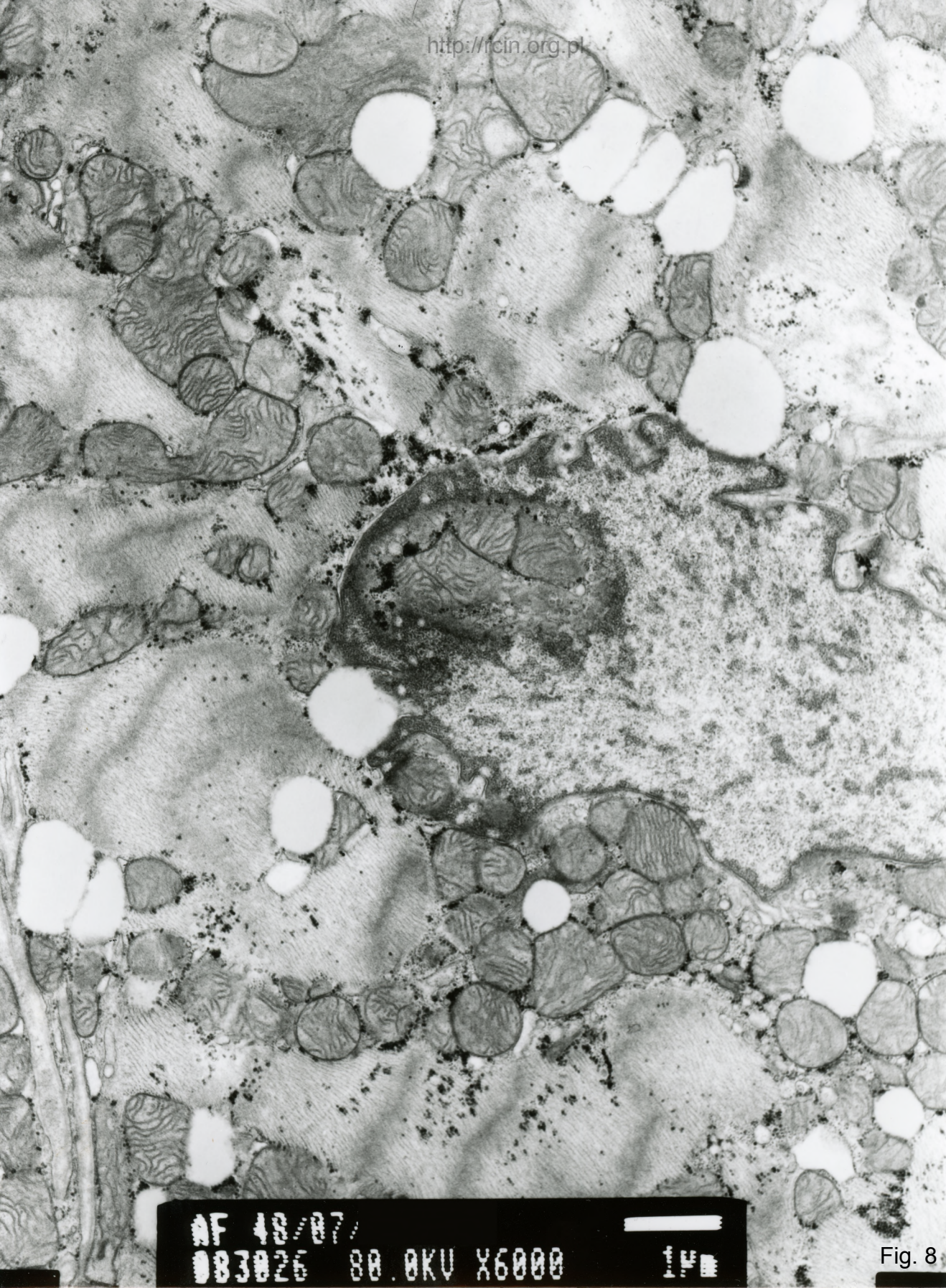


AF 48/07/  
083028 80.0KV X5000



1 μm

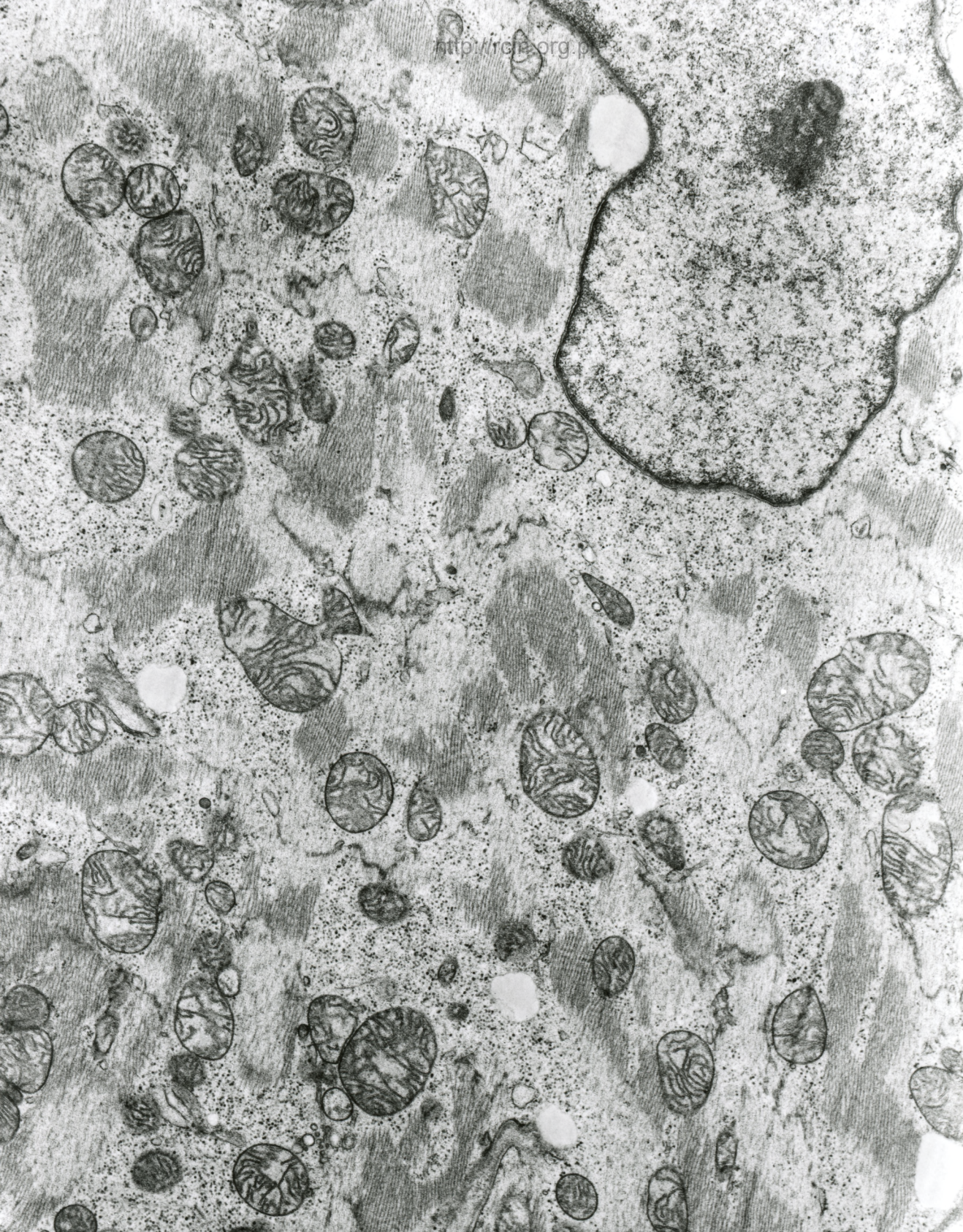
Fig. 7



AF 48/07/  
083026 80.0KV X6000 1µm

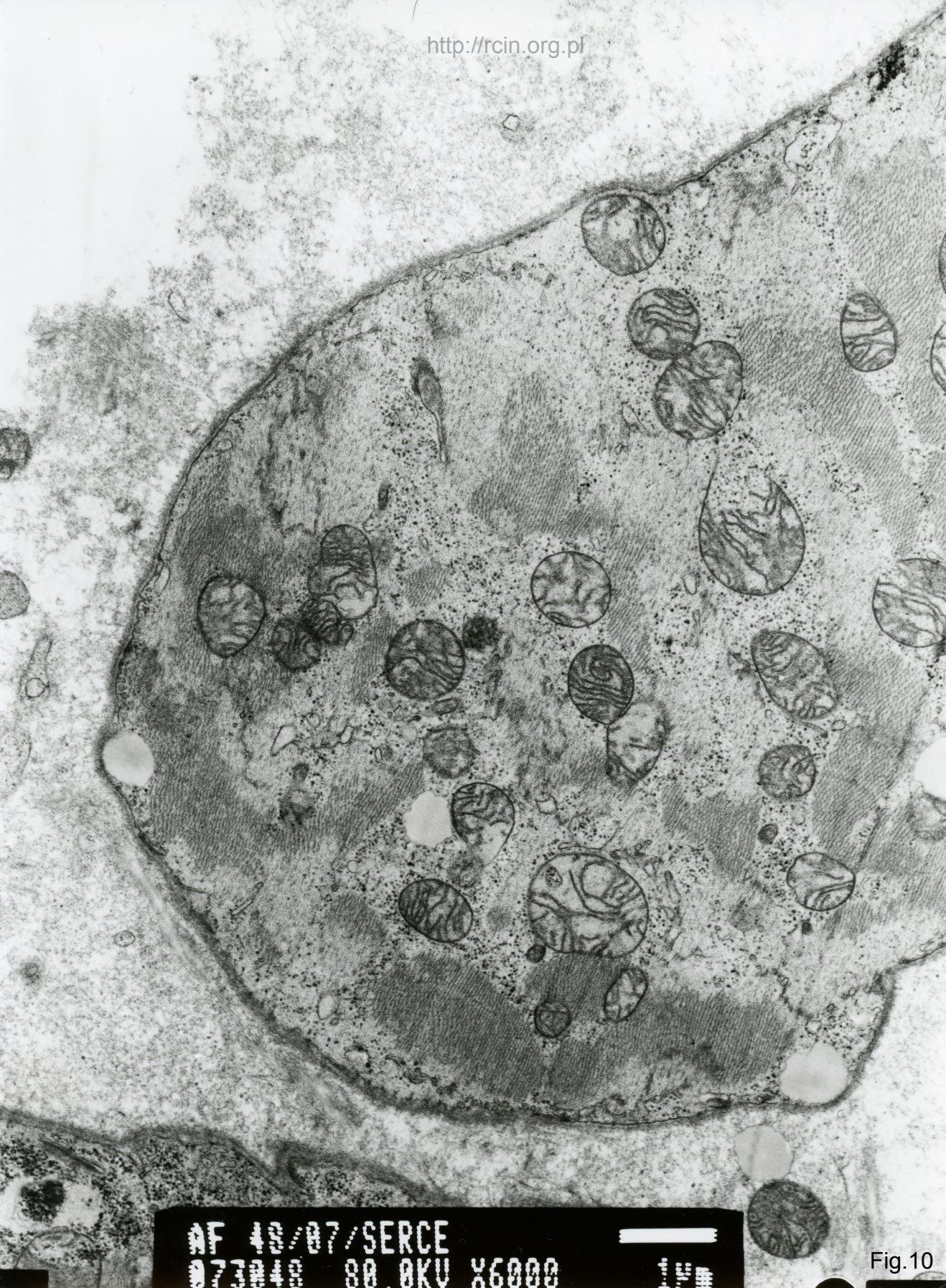
Fig. 8





AF 48/07/SERCE  
077010 88 AKU Y5000

Fig. 9



AF 42/07/SERCE  
073040 80.0KV X6000

Fig.10

48/07

Ocena ultrastrukturalna ujawniła zatartą strukturę sarkomerów oraz obecność licznych kropli tłuszczu (Fig.1-5). W sarkoplazmie obserwowano skupiska ziaren glikogenu otoczone błoną, zwłaszcza pod sarkolemmą (Fig. 6). Jądra kardiomiocytów zmienione, o pofałdowanej otoczce jądrowej lub pęknięciach w błonie, co wiązało się z penetracją organelli do ich wnętrza (Fig. 7,8). Obecne nieprawidłowe mitochondria, charakteryzujące się częściowym ubytkiem grzebieni, a niektóre przerwana błoną mitochondrialną (Fig. 9,10).

Ultrastructural analysis revealed a blurred sarcomere structure and the presence of numerous fat droplets (Figs.1-5). Membrane-surrounded clusters of glycogen granules were observed in the sarcoplasm, especially under the sarcolemma (Fig. 6). The nuclei of cardiomyocytes were altered, with corrugated nuclear envelope or breaks in the nuclear membrane, which was associated with penetration of organelles into their interior (Figs. 7,8). Abnormal mitochondria were seen, characterized by partial loss of mitochondrial cristae and some of them by disrupted mitochondrial membrane (Figs. 9,10).